

---

## **Spectroscopie haute résolution et mesures de fréquences**

---

*Martina Knoop, CNRS/Université d'Aix-Marseille*

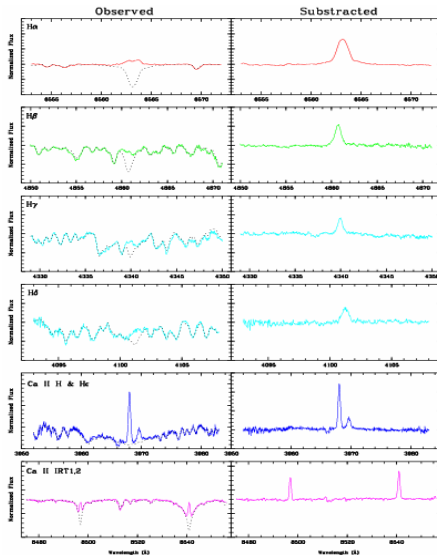
AER – 2012/13

1

**Exemples**

## Spectroscopic Analysis

- Kinematics (U, V, W).
  - Radial velocity (V<sub>r</sub>)
- Age (LiI 6707.8Å).
- Chromospheric activity
  - CaII H&K to CaII IRT
- Rotation ( $v \sin i$ ).
  - Activity – rotación relation
- Stellar parameters.
  - $T_{\text{eff}}$ ,  $\log g$ ,  $\xi$  and [Fe/H]
- Absolute and differential abundances.
  - Chemical tagging



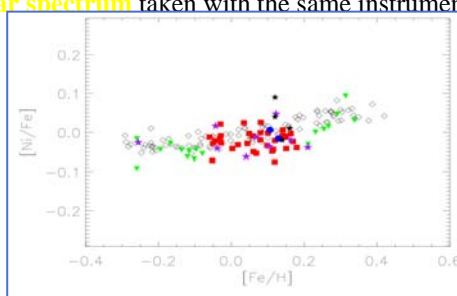
ALMA - 2012.1.0

## Chemical abundances

Fe, Na, Mg .....

### Fe, Na, Mg, Al, Si, Ca, Sc, Ti, V, Cr, Mn, Co, and Ni

- EW method in a line-by-line basis with *ARES* code (Sousa et al. 2007).
- Line lists and atomic parameters from (Neves et al. 2009; González Hernández et al. 2010).
- Abundance analysis with *MOOG* (Sneden 1973) using our determined atmospheric parameters and a solar spectrum taken with the same instrumental configuration.



[Ni/Fe] vs [Fe/H]: open diamonds represent the thin disk data (González Hernández et al. 2010), black filled triangles represent Hyades cluster data (Paulson et al. 2003). Red points are our stars compatible with Hyades Fe abundance, and the green ones not compatible. BZ Cet and HD19902 Hyades cluster members are marked with blue circles. Purple starred points represent the giant stars. Black starred points are the candidates selected stars in De Silva et al. (2011), black circles are those selected in Pompéia et al. (2011).

# Plan

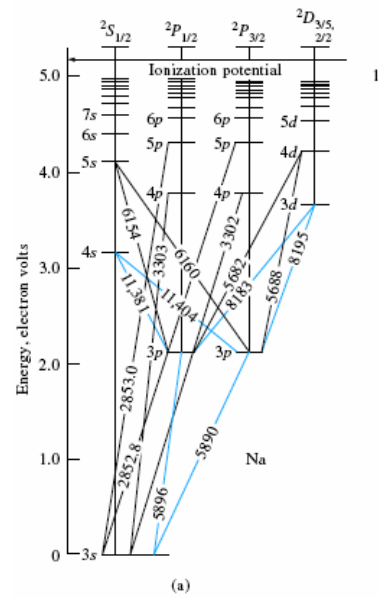
1. Spectroscopie haute résolution
  2. Effets d'élargissements
  3. Méthodes « Doppler-free »
    - 2 photon
    - Absorption saturée
  4. Mesure de fréquence
    - spectre de  $I_2$ 
      - monochromateur
      - détection optogalvanique
      - lambda-mètre,
      - chaîne de fréquence
      - peigne de fréquence

AER – 2012/13

5

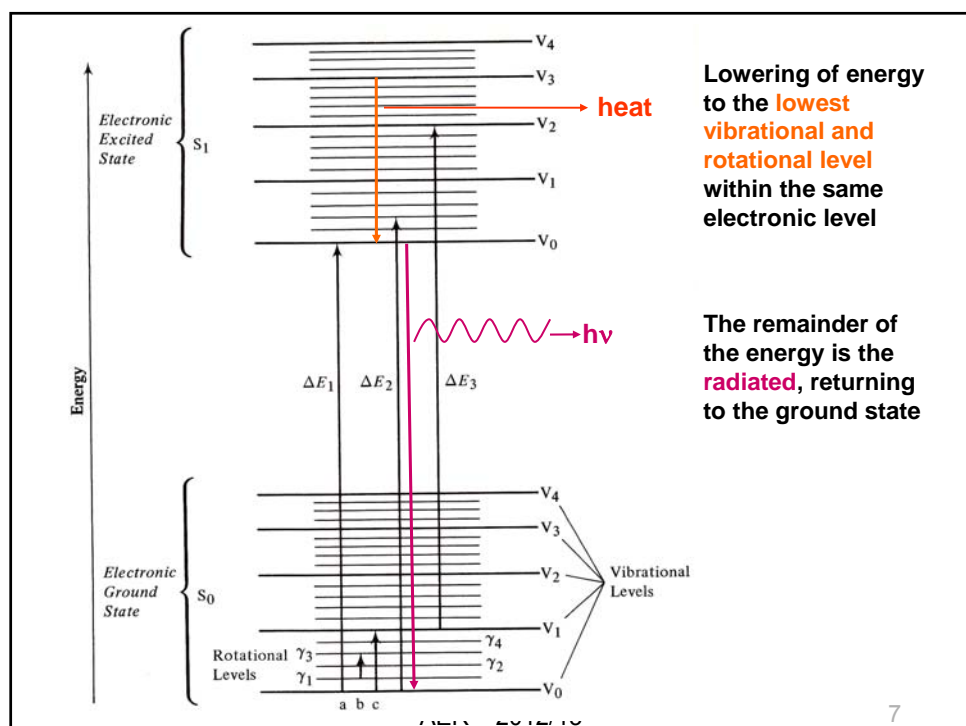
## 1. Spectroscopie haute résolution

- **Spectroscopie atomique:** peu de raies, typiquement energie élevées (visible, UV)
  - bcp de données connues, aussi de l'astrophysique  
  - **Spectroscopie moléculaire:** mélange de transitions électronique et ro-vibrationnelle
  - situation bcp plus complexe



AER – 2012/13

6



7

## 1. Spectroscopie haute résolution

- Å, nm, cm<sup>-1</sup>, (kayser), MHz
- haute résolution temporelle – spectrale  

$$\Delta v = (2\pi\tau)^{-1}$$
largeur de raie naturelle
- principe d'incertitude de Heisenberg pour un paquet d'onde  

$$\Delta x \cdot \Delta p_x \geq \hbar/2 \quad \text{ou} \quad \leftrightarrow \Delta E \cdot \Delta t \geq \hbar$$

## 2. Effets d'élargissement

- (1) Dans un jet : temps de transit
- (2) Agitation thermique : effet Doppler
- (3) Modification de la durée de vie : collisions
- (4) Par un champ externe : Zeeman, Stark
- (5) Par saturation
- (6) ...

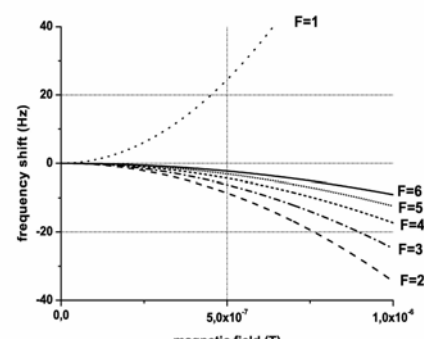
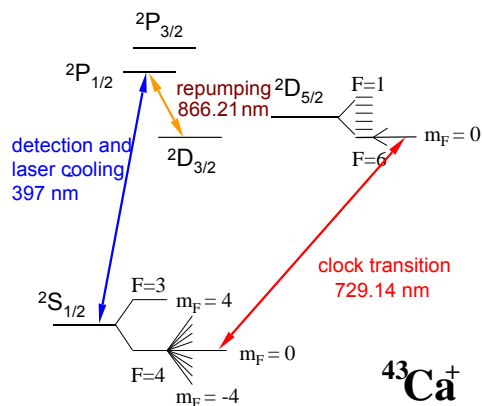
$$\frac{\Delta v}{v} = 7.16 \times 10^{-7} \sqrt{\frac{T}{M}}$$

Effets d'élargissement et de déplacement (broadening and shift)

AER – 2012/13

9

## Line broadening and shift



## Effets systématiques - $^{43}Ca^+$

effet	proportionnel à	condition	$\delta f$ [Hz]	$\delta f/f$
DC Stark *	$5.7 + 2.1 \times \frac{1}{2} (3\cos^2 \theta - 1)$	1V/mm T=300K	$0.39 \pm 0.27$	$9.5 (\pm 6.5) \times 10^{-16}$
quadrupole shift	$-8.1 \times 10^{-7} \left( \frac{1}{2} \frac{\partial^2 V}{\partial x^2} \right) \Pi$	1V/mm sur 1mm (piège sphérique) <b>3 mesures</b>	$+/- 0.1$	$+/- 2.5 \times 10^{-16}$
AC Stark (dépl.lumineux)		$0.75 \mu W/mm^2 @$ 729nm et 0.1 $\mu T$	$\pm 0.006$	$\pm 1.5 \times 10^{-17}$
Doppler 2 <sup>nd</sup> ordre	$- \frac{1}{2} V^2/C^2$	Doppler limit, $\langle n \rangle \approx 10$	$-1 \times 10^{-4}$	$-2.5 \times 10^{-19}$
Zeeman linéaire			0	0
Zeeman quadr.*	$-9.05 \text{ Hz}/\mu T^2$	$(0.1 \pm 0.05 \mu T)$ stability	$0.09 \pm 0.09$	$-2.2 (\pm 2.2) \times 10^{-16}$
<b>TOTAL</b>			<b><math>+0.3 \pm 0.4</math></b>	<b><math>(+7 \pm 10) \times 10^{-16}</math></b>

\* utilisation de  $^2S_{1/2}$ , F=4,  $m_F=0 \rightarrow ^2D_{5/2}$ , F=6,  $m_F=0$

11

## Broadening and shifts - *experimental constraints* -

$$\Delta v_{\text{nat}}/v \approx 3 \cdot 10^{-16}$$

to reach a 1-Hz linewidth at 411 THz ( $\Delta v/v = 2.4 \cdot 10^{-15}$ )

ion at the Doppler limit,  $\langle n \rangle \approx 10$

*2<sup>nd</sup> order Doppler*

magnetic field  $< (0.1 \pm 0.05 \mu T)$

*quadratic Zeeman, AC Stark*

residual electric field  $< 1 \text{ V/mm}$

*DC Stark*

electric field gradient  $< 1 \text{ V/mm}$  over 1 mm  
(spherical trap)

*quadrupole moment*

3 optical axes (orthogonal)

*measure of the quadrupole moment*

T= 300K

*DC Stark (black-body radiation)*

P<0.75  $\mu W/mm^2$  @  
729nm

*AC Stark (light shift)*

B

12



### 3. Méthodes sans effet Doppler

#### Techniques non-linéaires

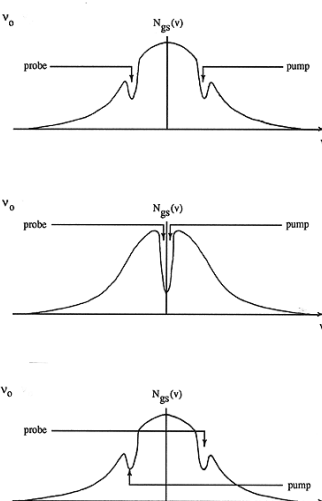
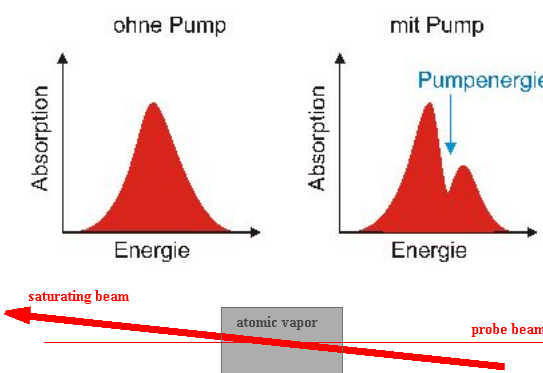
- Absorption saturée
- Spectroscopie à 2 photons
- ...

AER – 2012/13

13

### Absorption saturée

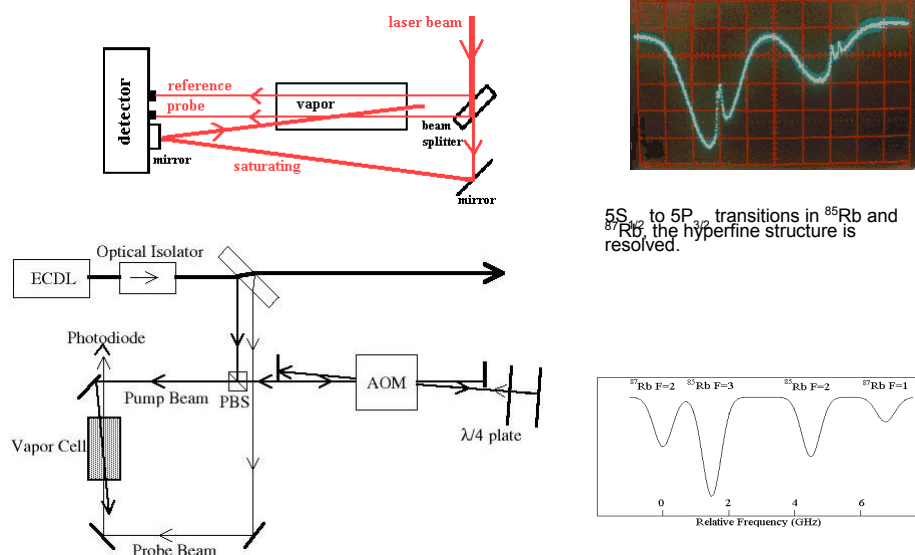
- Techniques « Doppler-free » par « spectral hole-burning » modification de la courbe de gain (faiscau pompe-faisceau sonde)



AER – 2012/13

14

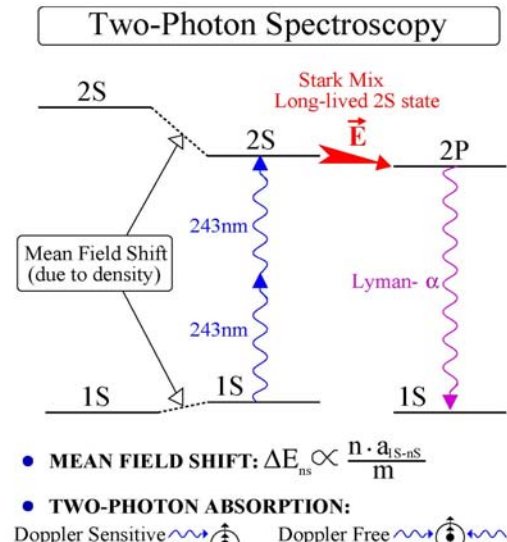
## Absorption saturée



AER – 2012/13

15

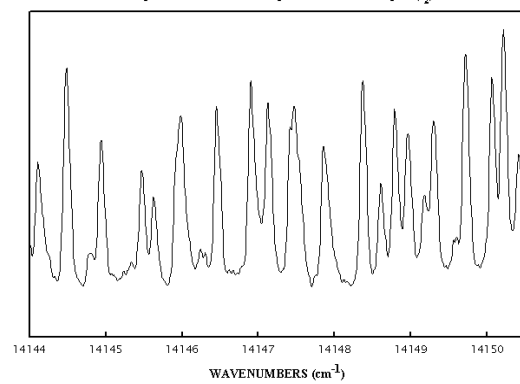
## 2 photons spectroscopie



## Mesures de fréquence

### Mesure de fréquence

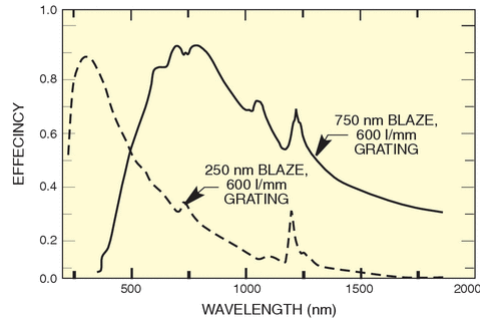
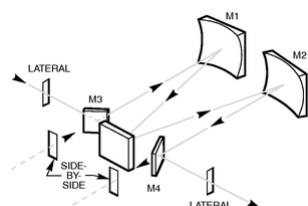
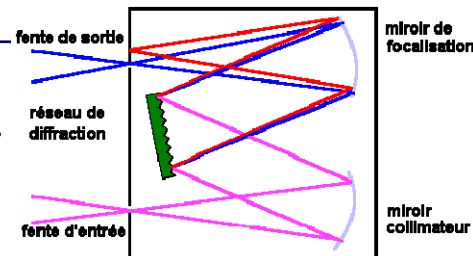
- spectre de l'iode



## Mesure de fréquence

- Monochromateur

resolution 1nm

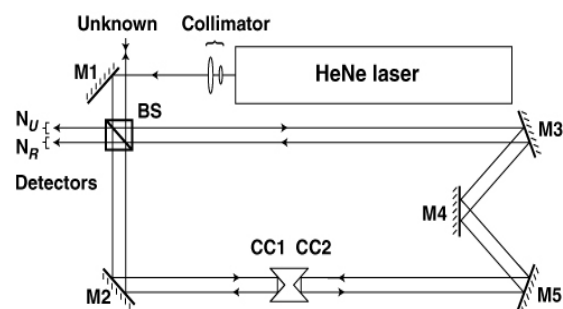


AER – 2012/13

19

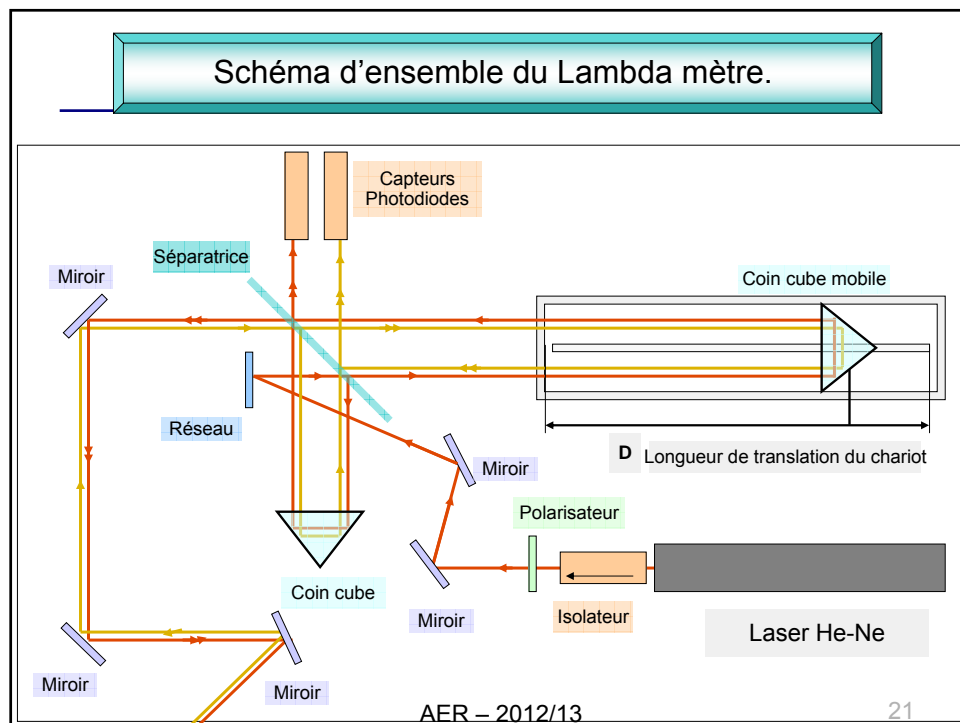
## Mesure de fréquence - $\lambda$ -mètre

- Ratio inverse du nombre des franges d'interférences
- Précision  $10^{-5}$  à  $10^{-8}$

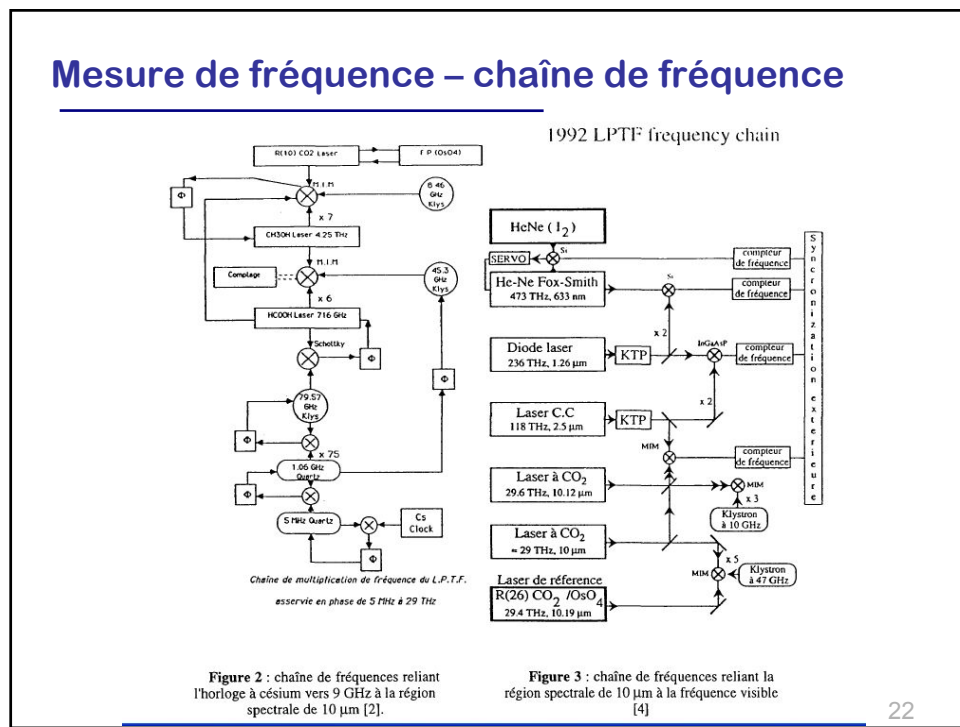


AER – 2012/13

20



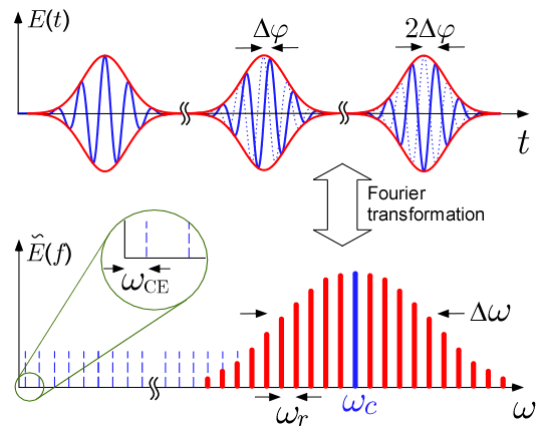
21



22

## Peigne de fréquence

Laser TiSa fs  
+ fibre non-linéaire



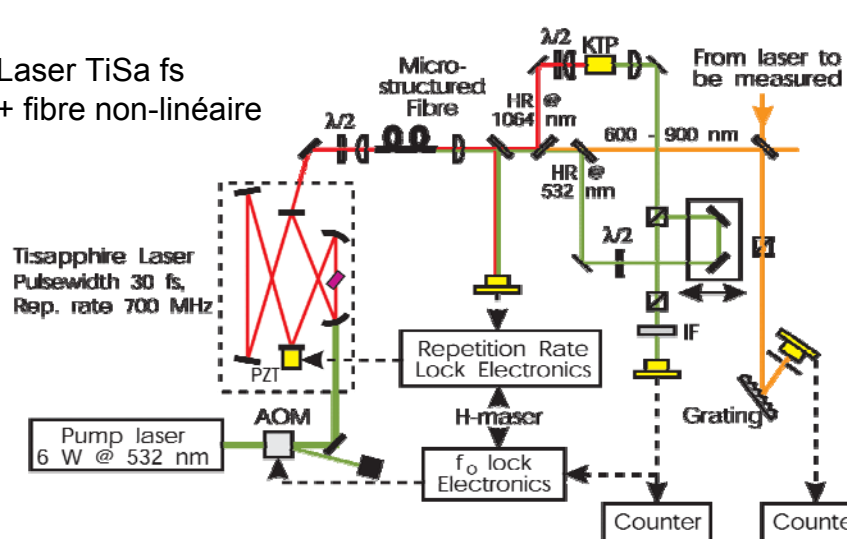
Three consecutive pulses of the pulse train emitted by a mode locked laser and the corresponding spectrum. The pulse-to-pulse phase shift results in a offset frequency  $CE = \omega_c / T$  because the optical carrier wave at C moves with the phase velocity while the envelope moves with the group velocity.

AER – 2012/13

23

## Peigne de fréquence

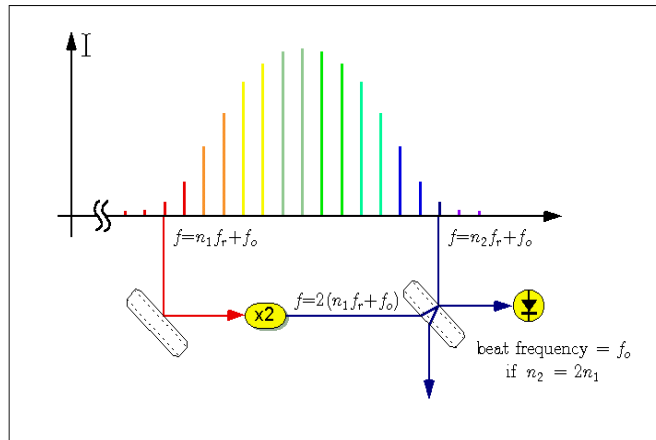
Laser TiSa fs  
+ fibre non-linéaire



AER – 2012/13

24

## Peigne de fréquence - autoreférencement



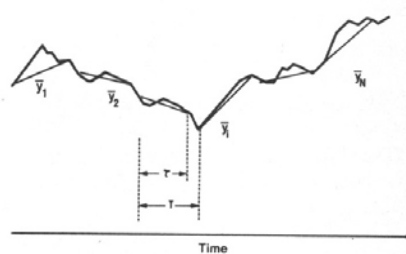
Th.Udem, R.Holzwarth, and T.W.Hänsch, Nature 416, 233 (2002)

AER – 2012/13

25

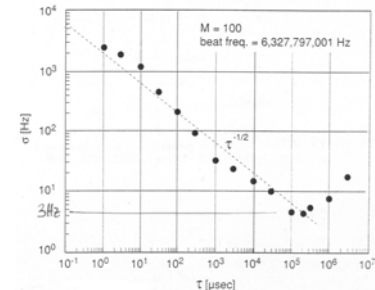
## Time domain (Allen variance)

Integration of measurement data over different times  $\tau$



$$\sigma_y^2(\tau) = \frac{1}{2} \langle (\bar{y}_2 - \bar{y}_1)^2 \rangle$$

Here: maximal stability of 3 Hz at integrating time of 0.2 sec.



AER – 2012/13